

УДК 531.38+517.45

МЕТОД УСКОРЕННОГО МОДЕЛИРОВАНИЯ
КВАЗИПЕРИОДИЧЕСКОГО ДВИЖЕНИЯ В АТМОСФЕРЕ
ТВЕРДОГО ПОЧТИ ОСЕСИММЕТРИЧНОГО ТЕЛА

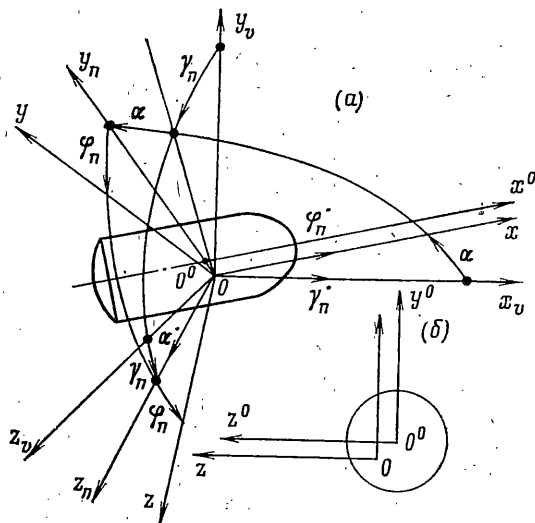
БЕЛОКОНОВ В. М., БЕЛОКОНОВ И. В., ЗАБОЛОТНОВ Ю. М.

Предлагается метод ускоренного расчета на ЭВМ движения в атмосфере твердого осесимметричного тела с малой асимметрией, основанный на использовании неявной схемы метода осреднения. Вместо исходной системы уравнений производится расчет другой системы, быстрые переменные которой колеблются с меньшей частотой, что позволяет уменьшить объем вычислений. Вид этой преобразованной системы определяется из условия инвариантности уравнений первого приближения метода осреднения. В [1, 2] метод применялся для ускорения расчета на ЭВМ системы дифференциальных уравнений с одной быстрой переменной. Однако использование этого метода для расчета движения в атмосфере асимметричного твердого тела требует его дальнейшего обобщения на случай многомерных вращательно-колебательных движений. В публикуемой работе дается развитие метода, позволяющего расширить область его применения, в частности рассчитать окolorезонансный режим движения в атмосфере твердого тела с малой асимметрией. В отличие от предыдущих работ проводится обоснование вида преобразованной системы. Численным моделированием исследуется зависимость величины погрешности метода от параметров преобразованной системы и от режима движения твердого тела (нерезонансный и резонансный случаи). Подобный метод неявного использования асимптотических решений можно назвать «методом искусственного увеличения периода колебаний» [2] или «методом искусственного уменьшения жесткости системы» [1].

1. Исходную систему дифференциальных уравнений движения в атмосфере твердого почти осесимметричного тела запишем в форме, удобной для применения метода осреднения

$$\begin{aligned} \frac{dQ_x}{dt} &= M_x^a + \Delta M_x, & \frac{dQ_v}{dt} &= M_v^a + \frac{c_y q S}{mv} \frac{Q_x - Q_v \cos \alpha}{\sin \alpha} + \Delta M_v \\ \frac{d\omega_{z_n}}{dt} &= \frac{M_{z_n}}{I} + \frac{(Q_x - Q_v \cos \alpha)(Q_x \cos \alpha - Q_v)}{I^2 \sin^3 \alpha} + \frac{M_{z_n}^a}{I} + \frac{\Delta M_{z_n}}{I} & (1.1) \\ \frac{d\alpha}{dt} &= \omega_{z_n} + \frac{c_y q S}{mv}, & \frac{d\varphi_n}{dt} &= \frac{Q_x}{I_x} + \frac{Q_x \cos \alpha - Q_v}{I \sin^2 \alpha} \cos \alpha + \Delta \omega_\varphi \end{aligned}$$

Здесь Q_x и Q_v — проекции кинетического момента тела на ось Ox связанной системы координат $Oxyz$ (начало координат O совпадает с центром масс) и направление воздушной скорости v тела (фиг. 1), α и φ_n — пространственный угол атаки (угол нутации) и угол собственного вращения тела (фиг. 1), ω_{z_n} — проекция угловой скорости тела на ось Oz_n системы координат Oxy_nz_n , связанной с плоскостью пространственного угла атаки (фиг. 1), M_{z_n} — проекция статического аэродинамического момента на ось Oz_n , M_x^a , M_v^a и $M_{z_n}^a$ — проекции момента от массовой асимметрии тела на соответствующие оси, ΔM_x , ΔM_v и ΔM_{z_n} — другие малые моменты, действующие на тело в атмосфере, $\Delta \omega_\varphi$ — малая поправка к $d\varphi_n/dt$, обусловленная массовой асимметрией, c_y — коэффициент подъемной силы, q — скоростной напор, S — характерная площадь, m — масса тела, I_x и I_z (I_y или I_z) — осевой и один из экваториальных моментов инерции тела.



Фиг. 1

Проекции момента от массовой асимметрии тела определяются из выражений

$$M_x^a = c_{y_n} (z^0 \cos \varphi_n + y^0 \sin \varphi_n) qS + \frac{\Delta I}{I} \left\{ \omega_{z_n} \frac{Q_v - Q_x \cos \alpha}{\sin \alpha} \cos 2\varphi_n + \right. \\ \left. + \frac{\sin 2\varphi_n}{2} \left[\left(\frac{Q_x \cos \alpha - Q_v}{I \sin \alpha} \right)^2 - \omega_{z_n}^2 \right] I \right\} + \frac{I_{yz}}{I} \left\{ 2\omega_{z_n} \frac{Q_x \cos \alpha - Q_v}{\sin \alpha} \sin 2\varphi_n + \right. \\ \left. + \cos 2\varphi_n \left[\left(\frac{Q_x \cos \alpha - Q_v}{I \sin \alpha} \right)^2 - \omega_{z_n}^2 \right] I \right\} + (I_{xz})_n \frac{Q_x \cos \alpha - Q_v}{I_x \sin \alpha} - \\ - (I_{xy})_n \frac{Q_x}{I_x} \omega_{z_n}$$

$$M_v^a = (c_{y_n} \cos \alpha + c_x \sin \alpha) (z^0 \cos \varphi_n + y^0 \sin \varphi_n) qS$$

$$M_{z_n}^a = -c_x (z^0 \sin \varphi_n - y^0 \cos \varphi_n) qS + \Delta I \left[\left(\frac{Q_x}{I_x} + \frac{Q_x \cos \alpha - Q_v}{I \sin^2 \alpha} \cos \alpha \right) \times \right. \\ \left. \times \left(\omega_{z_n} \sin 2\varphi_n + \frac{Q_x \cos \alpha - Q_v}{I \sin \alpha} \cos 2\varphi_n \right) + \right. \\ \left. + \frac{(Q_x - Q_v \cos \alpha) (Q_x \cos \alpha - Q_v)}{I^2 \sin^3 \alpha} + \frac{M_{z_n}}{I} \sin^2 \varphi_n \right] - \\ - I_{yz} \left[2 \left(\frac{Q_x}{I_x} + \frac{Q_x \cos \alpha - Q_v}{I \sin^2 \alpha} \cos \alpha \right) \left(\frac{Q_x \cos \alpha - Q_v}{I \sin \alpha} \sin 2\varphi_n - \omega_{z_n} \cos 2\varphi_n \right) - \right. \\ \left. - \frac{M_{z_n}}{I} \sin 2\varphi_n \right] + (I_{xy})_n \frac{Q_x}{I_x} \left[\frac{Q_x}{I_x} + \frac{Q_x (1 + \cos^2 \alpha) - 2Q_v \cos \alpha}{I \sin^2 \alpha} \right]$$

Здесь y^0 и z^0 — координаты центра масс тела в системе координат $O^0 x^0 y^0 z^0$ (фиг. 1), оси которой параллельны осям связанной системы координат $Oxyz$ (начало координат O^0 лежит на оси вращения тела, плоскости $O^0 y^0 z^0$ и Oyz совпадают), c_{y_n} и c_x — коэффициенты аэродинамической силы, соответствующие осям Oy_n и Ox (фиг. 1), $\Delta I = I_z - I_y$, $(I_{xy})_n = I_{xy} \cos \varphi_n - I_{xz} \sin \varphi_n$, $(I_{xz})_n = I_{xz} \cos \varphi_n + I_{xy} \sin \varphi_n$.

Система уравнений (1.1) получена из общих уравнений динамики движения твердого тела относительно центра масс. Уравнения (1.1) близки к уравнениям, описывающим движение твердого осесимметричного тела

с закрепленной точкой под действием момента силы тяжести. Подобная форма уравнений использовалась во многих работах, например в [2-4].

Систему уравнений (1.1) нужно рассматривать совместно с уравнениями движения центра масс твердого тела, которые характеризуют зависимость решений от медленного времени.

2. Развиваемый в работе метод заключается в замене исходной системы уравнений (1.1) преобразованной системой, определяемой из условия равенства усредненных уравнений обеих систем. Для обоснования вида преобразованной системы рассмотрим систему более общего вида, описывающую вращательно-колебательные одночастотные движения, асимптотические решения которой исследовались в [5]:

$$\frac{dx}{dt} = \varepsilon X_1(\tau, x, y) + \varepsilon^2 \dots, \quad \frac{dy}{dt} = Y_0(\tau, x, y) + \varepsilon Y_1(\tau, x, y) + \varepsilon^2 \dots \quad (2.1)$$

Здесь ε — малый параметр, $x = \{x_1, \dots, x_n\}$ — вектор медленных переменных системы, $y = \{y_1, \dots, y_m\}$ — вектор быстрых переменных системы, $X_1(\tau, x, y)$ — n -мерная вектор-функция, $Y_0(\tau, x, y)$, $Y_1(\tau, x, y)$ — m -мерные вектор-функции, $\tau = \varepsilon t$ — медленное время.

Предполагается, что существует общее решение вырожденной системы

$$dy/dt = Y_0(\tau, x, y), \quad x = \text{const}, \quad \tau = \text{const} \quad (2.2)$$

в которую переходит система (2.1) при $\varepsilon = 0$. Пусть в системе имеются колебательные и вращательные движения, тогда общее решение вырожденной системы (2.2) запишется в виде $y = T\varphi/2\pi + y^0(\tau, c, x, \varphi)$.

Здесь $y = \{y^{(1)}, y^{(2)}\}$, $y^{(1)} = \{y_1, \dots, y_s\}$ ($s \leq m$) — колебательные переменные с периодом $T_0(\tau, c, x)$, $y^{(2)} = \{y_{s+1}, \dots, y_m\}$ — вращательные переменные, $T = \{0, \dots, 0, T_{s+1}, \dots, T_m\}$ — совокупность приращений, которые получают компоненты вектора y за промежуток времени $\Delta T = T_0$, $\varphi = 2\pi(t - t_0) \times T_0^{-1}(\tau, c, x) + c_m$ — фаза, $c = \{c_1, \dots, c_{m-1}\}$ — совокупность $m-1$ произвольных постоянных, от которых зависит период T_0 , c_m — фазовая произвольная постоянная, t_0 — начальное время, $y^0(\tau, c, x, \varphi)$ — m -мерная вектор-функция, периодически зависящая от фазы φ с периодом 2π .

Если интегралы порождающей системы (2.2) c_1, \dots, c_m известны, то, применяя метод вариации произвольных постоянных, нетрудно свести возмущенную систему (2.1) к системе с быстро вращающейся фазой вида [5]:

$$\frac{dr}{dt} = \varepsilon R_1(\tau, r, \varphi) + \varepsilon^2 \dots, \quad \frac{d\varphi}{dt} = \omega(\tau, r) + \varepsilon \Phi_1(\tau, r, \varphi) + \varepsilon^2 \dots \quad (2.3)$$

Здесь $r = \{x, c\}$ — совокупность векторов x и c , $\omega(\tau, r) = 2\pi/T_0(\tau, r)$, $R_1(\tau, r, \varphi)$ и $\Phi_1(\tau, r, \varphi)$ — известные функции, периодические по φ с периодом 2π .

Метод осреднения системы (2.3) заключается в отыскании замены переменных вида

$$r = r^0(\tau) + \varepsilon r_1(\tau, r^0, \varphi^0) + \varepsilon^2 \dots, \quad \varphi = \varphi^0(\tau) + \varepsilon \varphi_1(\tau, r^0, \varphi^0) + \varepsilon^2 \dots \quad (2.4)$$

При этом r^0 и φ^0 удовлетворяют уравнениям, правые части которых не содержат φ^0 , т. е.

$$\frac{dr^0}{dt} = \varepsilon A_1(\tau, r^0) + \varepsilon^2 A_2(\tau, r^0) + \varepsilon^3 \dots, \quad \frac{d\varphi^0}{dt} = \omega(\tau, r^0) + \varepsilon B_1(\tau, r^0) + \varepsilon^2 \dots \quad (2.5)$$

После подстановки рядов (2.4) в систему (2.3) находятся неизвестные функции r_1 , φ_1 , A_1 , A_2 , B_1 .

Первое и второе приближения метода осреднения для системы (2.3)

определяются из следующих выражений [6]:

$$\frac{dr^0}{dt} = \varepsilon A_1(\tau, r^0) + \varepsilon^2 A_2(\tau, r^0); \quad A_1(\tau, r^0) = \frac{1}{2\pi} \int_0^{2\pi} R_1(\tau, r^0, \varphi^0) d\varphi^0$$

$$r_1(\tau, r^0, \varphi^0) = \frac{1}{\omega(\tau, r^0)} \int_{\varphi_0^0}^{\varphi^0} [R_1(\tau, r^0, \varphi^0) - A_1(\tau, r^0)] d\varphi^0,$$

$$B_1(\tau, r^0) = \frac{1}{2\pi} \int_0^{2\pi} h_1(\tau, r^0, \varphi^0) d\varphi^0 \quad (2.6)$$

$$\varphi_1(\tau, r^0, \varphi^0) = \frac{1}{\omega(\tau, r^0)} \int_{\varphi_0^0}^{\varphi^0} [h_1(\tau, r^0, \varphi^0) - B_1(\tau, r^0)] d\varphi^0$$

$$A_2(\tau, r^0) = \frac{1}{2\pi} \int_0^{2\pi} \left(\frac{\partial R_1}{\partial r^0} r_1 - \frac{\partial r_1}{\partial r^0} A_1 - \frac{\partial r_1}{\partial \varphi^0} B_1 \right) d\varphi^0$$

$$h_1(\tau, r^0, \varphi^0) = \Phi_1(\tau, r^0, \varphi^0) + \frac{\partial \omega}{\partial r^0} r_1(\tau, r^0, \varphi^0)$$

Для сокращения трудоемкости интегрирования системы (2.3) период колебаний T_0 искусственно увеличивается в $k(\tau)^{-1}$ раз, т. е. в системе (2.3) период T_0 заменяется на $T_{0*} = T_0/k(\tau)$, где $k(\tau)$ — некоторый коэффициент, такой, что $k(\tau) < 1$. В дальнейшем звездочкой обозначаются переменные преобразованной системы. Тогда система (2.3) приводится к виду

$$\frac{dr_*}{dt} = \varepsilon R_1(\tau, r_*, \varphi_*) + \varepsilon^2 \dots, \quad \frac{d\varphi_*}{dt} = k(\tau) \omega(\tau, r_*) + \varepsilon \Phi_1(\tau, r_*, \varphi_*) + \varepsilon^2 \dots \quad (2.7)$$

Здесь R_1 и Φ_1 — функции, периодические по φ_* с периодом 2π .

Для доказательства справедливости используемого приема производится сравнение асимптотических решений систем (2.3) и (2.7). В результате записи решений метода осреднения для системы (2.7) и сравнения полученных выражений с (2.6), справедливых для системы (2.3), определяются простые соотношения между их асимптотическими решениями: $A_1(\tau, r^0) = A_1(\tau, r_*, \varphi_*)$, т. е. в первом приближении векторы r и r_* совпадают, а $r_{1*} = r_1/k(\tau)$, $B_1 = B_{1*}$, $\varphi_{1*} = \varphi_1/k(\tau)$, т. е. колеблющиеся добавки к первому приближению в рядах (2.4) в $k(\tau)^{-1}$ раз увеличиваются.

Чтобы получить систему первоначального вида, аналогичную (2.1), производится обратный переход с учетом (2.7). Общее решение вырожденной системы при увеличении в $k(\tau)^{-1}$ раз периода колебаний T_0 принимает вид

$$y_* = T\varphi_*/2\pi + y^0(\tau, c, x, \varphi_*), \quad \varphi_* = 2\pi k(\tau)(t - t_0)/T_0(\tau, c, x) + c_m \quad (2.8)$$

Дифференцируя (2.8) по t при постоянных τ, c, x , приходим к вырожденной системе $dy_*/dt = k(\tau)Y_0(\tau, x, y_*)$, $x = \text{const}$, $\tau = \text{const}$.

Соответствующая ей система общего вида записывается следующим образом:

$$dx_*/dt = \varepsilon X_1(\tau, x_*, y_*) + \varepsilon^2 \dots$$

$$dy_*/dt = k(\tau)Y_0(\tau, x_*, y_*) + \varepsilon Y_1(\tau, x_*, y_*) + \varepsilon^2 \dots \quad (2.9)$$

Система (2.9) может использоваться вместо исходной системы (2.1), так как она определена из условий инвариантности уравнений первого приближения метода осреднения. Однако интегрирование ее на ЭВМ

производится значительно быстрее в связи с тем, что ее быстрые переменные колеблются с меньшей частотой.

Таким образом, рассмотрение системы дифференциальных уравнений достаточно общего вида (2.1) позволило обосновать форму преобразованной системы (2.9) и выявить основные особенности применения метода искусственного увеличения периодов колебаний.

3. Пусть нелинейная колебательная система характеризуется набором частот $\omega_1, \dots, \omega_m$, тогда она, как правило, представляется в виде

$$\frac{dr}{dt} = \varepsilon R_1(\tau, r, \psi) + \varepsilon^2 \dots, \quad \frac{d\psi}{dt} = \omega(\tau, r) + \varepsilon \Psi_1(\tau, r, \psi) + \varepsilon^2 \dots \quad (3.1)$$

Здесь $r = \{r_1, \dots, r_n\}$ — вектор медленных переменных системы, $\psi = \{\psi_1, \dots, \psi_m\}$ — совокупность фаз, соответствующая частотам $\omega(\tau, r) = \{\omega_1(\tau, r), \dots, \omega_m(\tau, r)\}$, R_1 и Ψ_1 — функции, периодические по ψ_1, \dots, ψ_m с периодом 2π .

Если резонансные соотношения между частотами

$$\omega_1(\tau, r) n_1^{(j)} + \dots + \omega_m(\tau, r) n_m^{(j)} = 0 \quad (j=1, \dots, k) \quad (3.2)$$

где $n_i^{(j)}$ — целые числа, k — количество резонансных соотношений, такое, что $k < m$, не выполняются, то усреднение по каждой из фаз ψ_1, \dots, ψ_m уравнений медленных переменных производится независимо. Поэтому доказательство равенства усредненных уравнений исходной и преобразованной систем (последняя имеет формально тот же вид (2.7)) проводится аналогично одночастотному случаю.

При движении твердого осесимметричного тела с малой асимметрией в атмосфере резонансные соотношения возможны между частотами двух быстрых переменных: пространственного угла атаки α и угла собственного вращения φ_n .

Поэтому для простоты здесь рассматривается околорезонансный случай двух вращающихся фаз γ и φ , соответствующих α и φ_n , хотя распространение метода на случай нескольких вращающихся фаз не представляет принципиальной трудности.

В соответствии с методом осреднения для резонансного случая [5] вводится вспомогательная переменная ϑ , определяющая расстройку фаз γ и φ . Тогда

$$\begin{aligned} dr/dt &= \varepsilon R_1(\tau, r, \vartheta, \varphi) + \varepsilon^2 \dots \\ d\varphi/dt &= \omega_\varphi(\tau, r) + \varepsilon \Phi_1(\tau, r, \vartheta, \varphi) + \varepsilon^2 \dots \\ d\vartheta/dt &= \omega_\vartheta(\tau, r) + \varepsilon \theta_1(\tau, r, \vartheta, \varphi) + \varepsilon^2 \dots \end{aligned} \quad (3.3)$$

Здесь $\omega_\vartheta(\tau, r) = \omega_\gamma(\tau, r) - (n_1/n_2) \omega_\varphi(\tau, r)$, n_1 и n_2 — целые числа (для простоты полагается $n_2 = 1$).

Уменьшая искусственно частоты ω_γ и ω_φ в $k(\tau)^{-1}$ раз, приходим к преобразованной системе

$$\begin{aligned} dr_*/dt &= \varepsilon R_1(\tau, r_*, \vartheta_*, \varphi_*) + \varepsilon^2 \dots \\ d\varphi_*/dt &= k(\tau) \omega_\varphi(\tau, r_*) + \varepsilon \Phi_1(\tau, r_*, \vartheta_*, \varphi_*) + \varepsilon^2 \dots \\ d\vartheta_*/dt &= k(\tau) \omega_\vartheta(\tau, r_*) + \varepsilon \theta_1(\tau, r_*, \vartheta_*, \varphi_*) + \varepsilon^2 \dots \end{aligned} \quad (3.4)$$

Для определения первого приближения в резонансном случае достаточно осреднить (3.3) и (3.4) соответственно по φ и φ_* и далее рассмотреть асимптотические разложения решений в окрестности поверхности $\omega_\vartheta(\tau, r) = 0$, определяющей резонансную область.

После осреднения по φ система (3.3) переходит в систему

$$\frac{dr}{dt} = \varepsilon R_1^\circ(\tau, r, \vartheta), \quad \frac{d\vartheta}{dt} = \omega_\vartheta(\tau, r) + \varepsilon \theta_1^\circ(\tau, r, \vartheta) \quad (3.5)$$

Здесь R_1° и θ_1° — функции R_1 и θ_1 , осредненные по φ . Аналогично для преобразованной системы имеем

$$\frac{dr_*}{dt} = \varepsilon R_1^\circ(\tau, r_*, \vartheta_*), \quad \frac{d\vartheta_*}{dt} = k(\tau)\omega_\circ(\tau, r_*) + \varepsilon\theta_1^\circ(\tau, r_*, \vartheta_*) \quad (3.6)$$

Уравнение поверхности $\omega_\circ(\tau, r) = 0$, определяющее резонансную область, одинаково для исходной и преобразованной систем уравнений. При пересечении траектории поверхности $\omega_\circ(\tau, r) = 0$ в нелинейных системах возможны два случая: прохождение через резонанс и захват траектории в резонансный режим. Для захвата траектории в длительный резонансный режим необходимо и достаточно выполнения условия возможности захвата траектории в резонанс и условий устойчивости длительного резонансного режима. Эти условия имеют следующий вид [4, 5]:

$$\begin{aligned} \max_{\circ} f \min_{\circ} f \leq 0, \quad -\frac{\partial \omega_\circ}{\partial r} \frac{\partial R_1^\circ}{\partial \vartheta} > 0 \\ \frac{\partial R_1^\circ}{\partial r} + \frac{\partial \theta_1^\circ}{\partial \vartheta} < 0, \quad f(r, \vartheta) = \frac{\partial \omega_\circ}{\partial r} R_1^\circ(r, \vartheta) \end{aligned} \quad (3.7)$$

Здесь и далее медленное время τ включено в вектор r медленных переменных. Нетрудно показать, что введение коэффициента $k(\tau)$ не изменяет условий (3.7), а значит, не оказывает влияния на закономерности фазовой траектории системы при прохождении через резонанс, захвате в резонансный режим и выходе из резонансной области.

В окрестности поверхности $\omega_\circ(r) = 0$ можно представить решение системы (3.5) в виде [4]:

$$r = r^\circ(\tau) + \varepsilon r_1(\tau) + \varepsilon^2 \dots, \quad \vartheta = \vartheta^\circ(\tau) + \varepsilon \vartheta_1(\tau) + \varepsilon^2 \dots \quad (3.8)$$

Подставляя ряды (3.8) в систему (3.5) и приравнивая члены при одинаковых степенях ε , найдем для первого приближения

$$dr^\circ/d\tau = R_1^\circ(r^\circ, \vartheta^\circ), \quad \omega_\circ(r^\circ) = 0 \quad (3.9)$$

Дифференцируя последнее равенство по τ , получим

$$f(r^\circ, \vartheta^\circ) = (\partial \omega_\circ / \partial r^\circ) R_1^\circ(r^\circ, \vartheta^\circ) = 0 \quad (3.10)$$

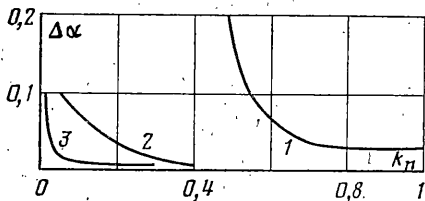
Первое из соотношений (3.9) и уравнение (3.10) определяют в первом приближении траекторию системы, располагающуюся на поверхности $\omega_\circ(r) = 0$. Эти соотношения, записанные для исходной (3.5) и преобразованной (3.6) систем, тождественно равны, что обуславливает совпадение в первом приближении движений этих систем при захвате траектории в длительный резонансный режим. Частота колебаний траектории преобразованной системы относительно поверхности $\omega_\circ(r) = 0$ при этом уменьшается.

Таким образом, доказано, что и в околорезонансном режиме изменения переменных уравнения первого приближения метода осреднения исходной и преобразованной систем равны.

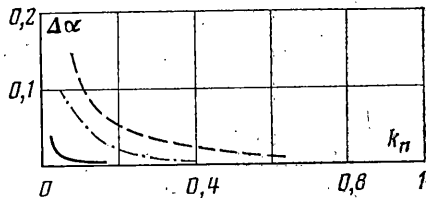
Можно отметить следующие преимущества метода искусственного увеличения периодов колебаний по сравнению с применением явных схем метода осреднения: универсальность метода (форма преобразованной системы уравнений одинакова для различных типов систем дифференциальных уравнений); простота реализации на ЭВМ (отсутствие необходимости предварительных замен переменных исходной системы уравнений); одинаковая реализация метода для нерезонансного и резонансного режимов движения тела.

4. В работе [4] показано, что система уравнений (1.1), описывающая движение в атмосфере твердого тела, близкого к осесимметричному, приводится к системе с двумя вращающимися фазами. Поэтому для ускорения

ее расчета на ЭВМ может быть применен метод искусственного увеличения периодов колебаний. Коэффициент $k(\tau)$ для системы (1.1) рационально задать в виде $k(\tau) = k_n \cdot k_q = k(q)$, где k_n — постоянный по траектории коэффициент, определяемый инерционно-массовыми и аэродинамическими параметрами тела, $k_q = k_q(q)$ — коэффициент, учитывающий изменение частоты колебаний тела по траектории, q — скоростной напор. Коэффициент k_q определяется как отношение частоты колебаний тела на высоте



Фиг. 2



Фиг. 3

начала применения метода искусственного увеличения периодов колебаний ($H_n \approx 75-80$ км) к текущей частоте. Принимая во внимание, что частота колебаний тела приблизительно пропорциональна \sqrt{q} , получим $k_q = [q(H_n)/q(H)]^{1/2}$, где $q(H_n)$ — скоростной напор на высоте H_n , $q(H)$ — текущий скоростной напор. Учитывая (2.9) и (3.4), приходим к системе дифференциальных уравнений

$$\begin{aligned} \frac{dQ_x}{dt} &= k(q) M_x^a + \Delta M_x \\ \frac{dQ_v}{dt} &= k(q) M_v^a + \frac{c_y q S}{mv} \frac{Q_x - Q_v \cos \alpha}{\sin \alpha} + \Delta M_v \\ \frac{d\omega_{zn}}{dt} &= k(q) \left[\frac{M_{zn}^a}{I} + \frac{(Q_x - Q_v \cos \alpha)(Q_x \cos \alpha - Q_v)}{I^2 \sin^3 \alpha} + \frac{M_{zn}^a}{I} \right] + \frac{\Delta M_{zn}^a}{I} \quad (4.1) \\ \frac{d\alpha}{dt} &= k(q) \omega_{zn} + c_y q S / mv \\ \frac{d\varphi_n}{dt} &= k(q) \left(\frac{Q_x}{I_x} + \frac{Q_x \cos \alpha - Q_v}{I \sin^2 \alpha} \cos \alpha \right) + \Delta \omega_\varphi \end{aligned}$$

Ниже приводится сравнение нескольких форм преобразованной системы (4.1):

1) коэффициент $k(q)$ остается в третьем и четвертом уравнениях системы (4.1) (M_{zn}^a на него не умножается), в остальных уравнениях полагается $k(q) = 1$ (метод [1]);

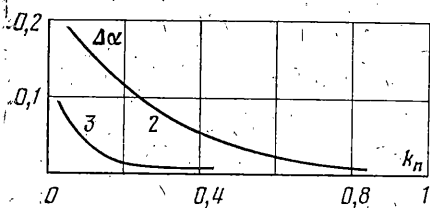
2) коэффициент $k(q)$ остается в третьем, четвертом и пятом уравнениях системы (4.1) (M_x^a , M_v^a и M_{zn}^a на него не умножаются);

3) коэффициент $k(q)$ входит во все уравнения системы согласно (4.1).

В последнем случае в преобразованной системе (4.1) полагается формально, что моменты M_x^a , M_v^a и M_{zn}^a от массовой асимметрии тела не являются малыми.

Сравнение различных вариантов метода показывает более высокую точность и меньшую трудоемкость при счете на ЭВМ варианта 3) по сравнению с вариантами 2) и 1), а варианта 2) по сравнению с вариантом 1). Некоторые результаты расчетов на ЭВМ иллюстрируются на фиг. 2—4. В качестве контролируемой характеристики движения в атмосфере тела, близкого к осесимметричному, на графиках фиг. 2, 3 показан максимальный угол атаки α_m (амплитуда колебаний) в момент прохождения телом максимального скоростного напора q_{\max} . На фиг. 2, 3 приводится зависимость относительной погрешности $\Delta \alpha = |(\alpha_{m*} - \alpha_m) / \alpha_m|$ вычисления

α_m по преобразованной системе (4.1) для вариантов 1), 2), 3) и различных величинах асимметрии тела от коэффициента k_n в случае нерезонансного режима движения. Расчеты, представленные на фиг. 2, проводились при асимметрии тела, характеризуемой отношением $I_{yz}/I=0,05$. На фиг. 3 показано влияние величины массовой асимметрии тела вращения вида $y^\circ \neq 0$ на погрешность вычисления α_m . Пунктирная кривая на фиг. 3 соответствует асимметрии $y^\circ/l=0,005$, а штрихпунктирная — $y^\circ/l=0,01$, где l — длина тела. Обе кривые получены в результате расчетов по варианту 2). Если при отсутствии асимметрии точность во всех трех вариантах



Фиг. 4

практически совпадает, то для асимметричного тела погрешность варианта 1) значительно больше (фиг. 2). Точность варианта 2) зависит от величины асимметрии, что иллюстрируется фиг. 3, и при увеличении асимметрии погрешность варианта 2) возрастает. Точность варианта 3) практически не зависит от величины асимметрии (на фиг. 3 кривые, соответствующие $y^\circ/l=0,005$ и $y^\circ/l=0,01$, слились в одну) и значение k_n ограничивается снизу лишь условием применения асимптотического метода [2]. На фиг. 4 приводится зависимость относительной погрешности вычисления максимального угла атаки $\Delta\alpha = |(\alpha_{m*} - \alpha_m)/\alpha_m|$ при прохождении тела, близкого к осесимметричному, через резонанс от коэффициента k_n . Рассматривается асимметрия с параметром $y^\circ/l=0,008$. Графики показывают большую точность вариантов 2) и 3) и в этом случае, хотя погрешность вычислений возрастает по сравнению с нерезонансным режимом движения. Аналогично может быть рассмотрен расчет по преобразованной системе других характеристик движения в атмосфере твердого почти осесимметричного тела: времени движения, перегрузки, дальности полета и др. В качественном отношении зависимость погрешности их вычисления от коэффициента k_n остается той же.

Предлагаемый метод ускоренного расчета на ЭВМ системы (1.1) дает существенный выигрыш в объеме вычислений, если исходные частоты тела велики. При моделировании неуправляемого движения в атмосфере тела, близкого к осесимметричному, удалось достигнуть 20-кратного уменьшения объема вычислений.

ЛИТЕРАТУРА

1. Ярошевский В. А., Воейков В. В. Метод ускорения расчета быстрых квазипериодических движений на ЦВМ. — Ж. вычисл. матем. и матем. физ., 1964, т. 4, № 1, с. 168—171.
2. Кузмак Г. Е. Динамика неуправляемого движения летательных аппаратов при входе в атмосферу. М.: Наука, 1970. 347 с.
3. Лурье А. И. Аналитическая механика. М.: Физматгиз, 1961. 824 с.
4. Ярошевский В. А. Движение неуправляемого тела в атмосфере. М.: Машиностроение, 1978. 167 с.
5. Волосов В. М., Моргунов Б. И. Метод осреднения в теории нелинейных колебательных систем. М.: Изд-во МГУ, 1971. 507 с.
6. Моисеев Н. Н. Асимптотические методы нелинейной механики. М.: Наука, 1981. 400 с.

Куйбышев

Поступила в редакцию
2.III.1982